

СЕЧЕНИЕ ОПТИЧЕСКОГО ПОГЛОЩЕНИЯ МЕЛКОГО ДОНОРА В ГЕРМАНИИ

Дружинин Ю. П., Чиркова Е. Г.

В широком спектральном интервале ($7 < h\nu < 35$ мэВ) измерено поглощение ИК излучения мелким донором Sb ($E_i \simeq 10$ мэВ) в компенсированном Ge. Полученные спектральные зависимости отличаются от спектра водородоподобной примеси, что объясняется влиянием анизотропии эффективной массы электрона.

В многодолинных полупроводниках, таких как Ge и Si, энергетический спектр мелких доноров существенно отличается от спектра водородоподобной примеси из-за анизотропии эффективной массы зоны проводимости и химического сдвига, влияние которого на оптическое поглощение мелким донором в непрерывном спектре (т. е. при забросе носителя под действием излучения из основного состояния в зону проводимости) рассматривалось в ряде работ (см. обзор [1]). Однако рассчитанные спектральные зависимости сечения оптического поглощения $\sigma_i(h\nu)$ в широком диапазоне существенно отличаются от измеренных зависимостей $\sigma_i(h\nu)$ для мелких доноров в Si. Если предположить, что отличие вызвано пренебрежением в расчетах анизотропией эффективной массы, которая характеризуется величиной $\gamma = m_t/m_l$ (m_t , m_l — поперечная и продольная эффективные массы соответственно), то в Ge, где анизотропия сильнее ($\gamma_{Si}=0.2$, $\gamma_{Ge}=0.05$), отклонение $\sigma_i(h\nu)$ от водородоподобного поведения сечения оптического поглощения должно быть более значительным. Для проверки этого предположения необходимо измерить $\sigma_i(h\nu)$ в широком спектральном интервале, поскольку до сих пор при изучении оптического поглощения мелкими донорами в Ge основное внимание уделялось дискретному спектру и узкому участку непрерывного, близкого к энергии ионизации основного состояния примеси E_i [2-5]. Интерес к измерению усиливается двумя обстоятельствами: с одной стороны, изотропная модель по-прежнему используется при расчете $\sigma_i(h\nu)$ [6], с другой стороны, недавно появилась работа [7], в которой расчет $\sigma_i(h\nu)$ произведен с полным учетом анизотропии эффективной массы.

Измерялось оптическое пропускание в дальнем ИК диапазоне компенсированного германия, в котором основной примесью был глубокий многозарядный акцептор (Cu), а компенсирующей — мелкий донор (Sb). Компенсация была такова, что верхний уровень меди в условиях равновесия заполнен примерно наполовину, а мелкий донор ($N_d \simeq 10^{15}$ см⁻³) полностью ионизован. Однако при низкой температуре под действием подсветки, возбуждающей электроны с много зарядного акцептора, происходит перезарядка и сурьма частично нейтрализуется (рис. 1), что вызывает уменьшение прозрачности образца в дальнем ИК диапазоне из-за поглощения фотонов мелкими донорами. Сечение оптического поглощения $\sigma_i(h\nu)$ можно определить в пренебрежении многократным отражением с погрешностью $\leq 20\%$ по формуле

$$\sigma_i(h\nu) = \frac{1}{dN_0} \ln \left(\frac{T_0}{T_1} \right),$$

где d — толщина образца, N_0 — концентрация нейтральной сурьмы, T_0 — пропускание без подсветки, T_1 — пропускание при наличии подсветки. Какие-

либо другие механизмы поглощения (например, решеточное) повлиять на результат не могут, поскольку они дают одинаковый вклад в T_0 и T_1 и при делении спектров связанные с ними члены сокращаются. В качестве источника

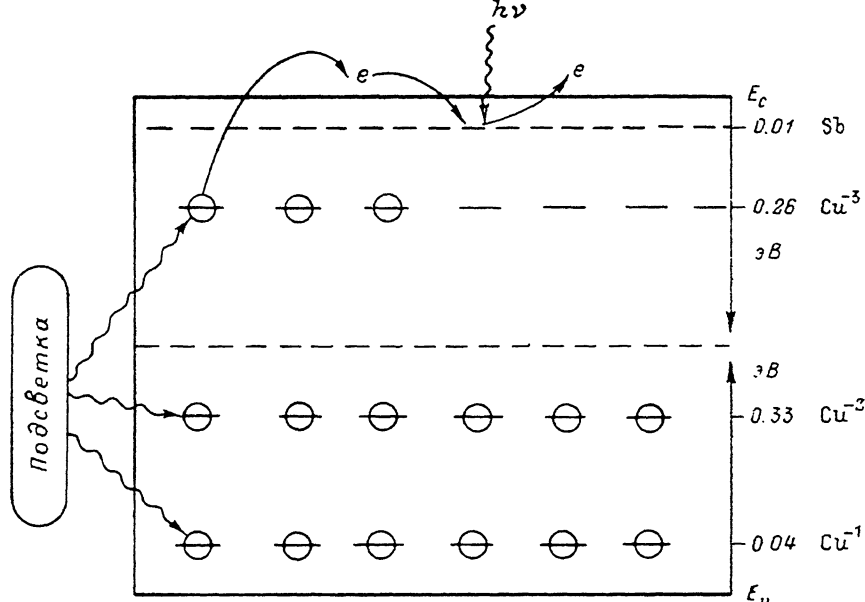


Рис. 1. Схема перезарядки примесей в компенсированном Ge : Cu : Sb под действием подсветки.

подсветки в нашем эксперименте использовалась лампа накаливания, свет от которой проходил через теплый германиевый фильтр. Детектором служил некомпенсированный германий, легированный сурьмой с $N_d \approx 10^{15} \text{ см}^{-3}$. Измере-

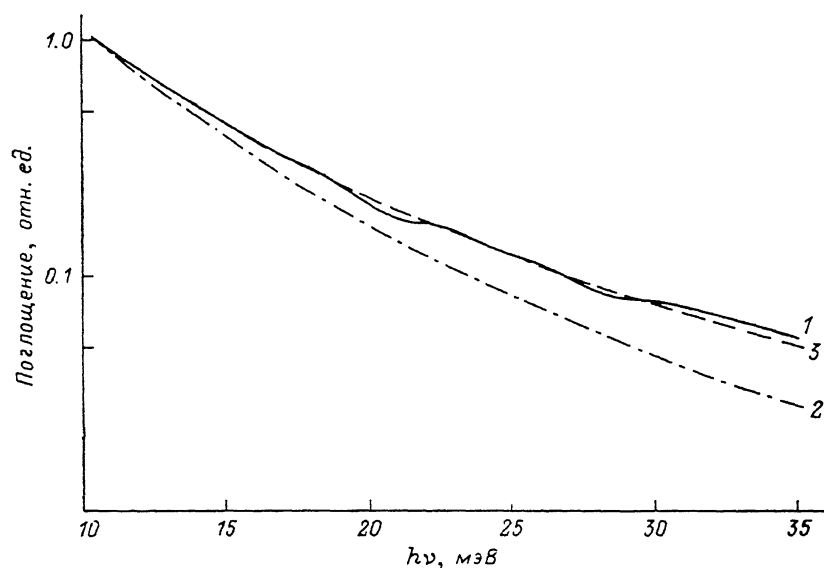


Рис. 2. Спектр сечения оптического поглощения Sb в Ge при $h\nu \geq E_i$.

1 — эксперимент, 2 — расчет в изотропной модели [1], 3 — расчет с учетом анизотропии [?].

ния проводились при $T=4.2$ К. В качестве монохроматора использовался длинноволновый решеточный вакуумный спектрометр FIS-21.

Именно на возможности «включать» и «выключать» с помощью подсветки поглощение мелкими донорами фотонов монохроматического ИК излучения

основана методика, использованная в данной работе. Она обеспечивает большую точность измерения спектральной зависимости поглощения сурьмой в германии в широком интервале энергий фотонов, нежели стандартная методика, согласно которой необходимо иметь два образца одинаковых размеров — чистый и легированный, попаременно устанавливаемых на пути излучения. При этом способе определения $\sigma_i(h\nu)$ имеется по крайней мере три источника погрешностей — неидентичность размеров, объемных свойств образцов и установка их на пути излучения, что отсутствует в наших измерениях.

На рис. 2 приведены измеренный спектр оптического поглощения мелким донором (кривая 1), а также результаты расчетов: кривая 2 — $\sigma_i(h\nu)$ в приближении изотропной эффективной массы с учетом химического сдвига основного состояния мелкого донора [6], кривая 3 — теория, учитывающая и анизотропию эффективной массы, и химический сдвиг [7]. Для германия, легированного сурьмой, химический сдвиг не является существенным, поскольку расщепле-

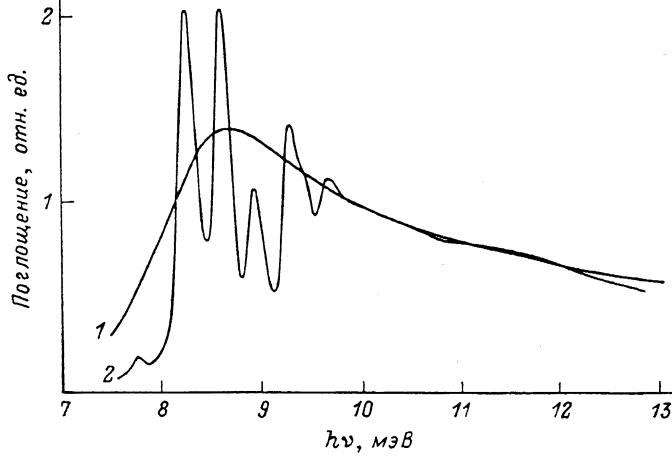


Рис. 3. Длинноволновая часть спектра сечения оптического поглощения Sb в компенсированном (1) и в некомпенсированном (2) Ge, $N_d = 7 \cdot 10^{14} \text{ см}^{-3}$ [2].

ние основного состояния сурьмы на триплет и синглет ($4\Delta = 0.3 \text{ мэВ}$) мало по сравнению с фигурирующей в данной теории [7] энергией ионизации $E_i = 10.5 \text{ мэВ}$, которая в свою очередь близка к энергии ионизации мелкой примеси $E_0 = 9.8 \text{ мэВ}$, получающейся в приближении эффективной массы. Теоретические кривые 2 и 3 совмещены с экспериментальной кривой 1 при энергии основного состояния E_i . Кривые 1 и 3 в пределах экспериментальной точности демонстрируют хорошее совпадение и значительно расходятся с кривой 2. Изменение интенсивности подсветки приводит к изменению N_0 , зависимость сечения поглощения от энергии при этом не меняется. Если взять из [2, 3] значение σ_i , соответствующее энергии фотона $h\nu = 10 \text{ мэВ}$, и оценить концентрацию нейтрализованных подсветкой атомов сурьмы, воспользовавшись приведенной формулой для $\sigma_i(h\nu)$, то получится величина $N_0 \approx 3 \cdot 10^{14} \text{ см}^{-3}$. В некомпенсированном материале при такой концентрации примеси наблюдаются линии поглощения, связанные с переходами в возбужденные состояния из основного синглета и триплета (рис. 3, кривая 2, взятая из [2]). В компенсированном германии вместо линий наблюдается широкая полоса поглощения при $h\nu = 7 \div 10 \text{ мэВ}$ (рис. 3, кривая 1), положение максимума которой близко к энергии перехода из $1s(A)$ -состояния в $2p_{\pm}(A)$ -состояние. Такая особенность спектра поглощения в компенсированном материале может быть связана, например, с наличием электрических полей, создаваемых случайно расположеными заряженными примесями и деформацией решетки под действием примесей [4, 5].

Таким образом, измеренное в широком спектральном интервале сечение оптического поглощения мелкого донора в германии существенно отличается

от спектральной зависимости оптического поглощения водородоподобной примеси. Это отличие объясняется влиянием анизотропии эффективной массы.

Авторы выражают признательность Н. Г. Ждановой и М. С. Кагану за представление образцов, И. Л. Бейнихесу, Ш. М. Когану и В. Н. Губанкову за многочисленные обсуждения.

Список литературы

- [1] Sclar N. // Prog. Quant. Electron. 1984. V. 9. N 2. P. 149—257.
- [2] Reuszer J. H., Fisher P. // Phys. Rev. 1964. V. 135. N 4A. P. 1125—1132.
- [3] Yosio Nisida, Kenji Horii // J. Phys. Soc. Japan. 1969. V. 26. N 2. P. 388—395.
- [4] Kogan Su. M.. Lifshits T. M. // Phys. St. Sol. (a). 1977. V. 39. N 11. P. 10—39.
- [5] Retsaert E., Clauws P., Vennik J., Van Goethem L. // J. Appl. Phys. 1989. V. 65. N 2. P. 731—735.
- [6] Coon D. D., Karunaziri R. P. G. // Phys. Rev. 1986. B. 33. Part 1. P. 8228—8233.
- [7] Бейнихес И. Л., Коган Ш. М. // ЖЭТФ. 1987. Т. 93. В. 1. С. 285—301.

Институт радиотехники
и электроники АН СССР
Москва

Получена 15.10.1990
Принята к печати 17.10.1990